

DEFINITION OF THE ENERGY AND FORCE BASED ON THE UNIFIED THEORY OF ENERGY (UTE, UNITHE)

AZ ENERGIA ÉS ERŐ DEFINÍCIÓJA AZ EGYSÉGES ENERGIA ELMÉLET (EEE, UNITHE) ALAPJÁN

Dr. Fekete Gábor

University of Miskolc

Department of Electrical and Electronic Engineering

1. BEVEZETÉS

Napjainkban is, arra a kérdésre, hogy mi tölti ki a teret, még nem született természethű modell. Egy ilyen térmodellnek a megalkotását célozza meg az Egységes Energia Elmélet (EEE) (UTE, UNITHE) [1], [3]. Maxwell térre vonatkozó elképzelését Dr. Zombory László Elektromágneses Terek című könyvéből [4] idézzük. „Maxwell élete végéig hitte, hogy az elektromágneses teret jól definiálható mechanikai tulajdonságokkal bíró közeg hordozza. ... Ezért az „éter” elképzelést csak Einstein relativitáselmélete döntötte meg – nem csekély ellenkezéssel szemben” [4] (28. oldal). Az új térelméletem EEE (UTE) térmodellje, a nem pondusi energia rendszer, Maxwell gondolatait támogatja és elveti Einstein térre vonatkozó vákuum elképzeléseit! Így a Maxwell egyenleteket kiegészítettem az új térmodell alapján [2]. A teret kitöltő energiamezőt az új térmodell segítségével matematikai formába öntöttem. Talán mondható, ha az „éterre” Maxwell a matematikai leírást is megteszi, akkor nem születik meg a relativitáselmélet. Létünk terét, univerzumunkat energetikailag két részre osztottuk pondusi és nem pondusi energiarendszerre, amelyek építőköve a dipólusos energiakvantum, és amelyeknek sorba rendeződött energia spektrumterei adják az irányított tereket [1], [2], [3]. Az irányított energiateret felismerése új alapokra helyezi a tudományt. A dipólusos energiakvantumnak a tórusz forrásenergiának a nem pondusi energiarendszer építőkövének jellemző értékei és a kitöltött térfogati energiák nagysága határértékkel, mint alapoknak definícióját megadtam. Definícióra került még a fontosabbakat említve a nem pondusi és pondusi energiarendszer, a tömeg, a tehetetlenség, a villamos és mágneses tér, a gravitáció.

2. AZ ENERGIA ÉS ERŐ DEFINÍCIÓJA AZ ÚJ TÉRMODELL ALKALMAZÁSÁVAL

Az energia definíciója: A tér egy V térfogatának E_V energiája egy t időpillanatban egyenlő a térnek a V térfogatra vett eredő irányítottságával

$$\vec{E}_V = \iiint_V \vec{E}_{dek}(t, x, y, z) dV \quad [\text{VAs, Nm}].$$

Ebben a definíciós értelemben az energiának nagysága és iránya is van. A t időt az emberiség vezette be, hogy a természeti jelenségek folyamatát matematikai összefüggésben röviden tömören leírhasse. Így a jelen tudomány alapjaival elfogadott időtágulást (idődilatációt), Lorentz-transzformációt, amit a gyakorlatban a fotonnal, mint információ közvetítő elem által tapasztalunk, és matematikailag

hibátlanul meghatározunk, nincs szinkronozottan a leírni kívánt folyamattal. Ilyen értelemben egy folyamatnak természetű leírásában a bevezetett t idő lineárisan változhat. Továbbá az előzőekből adódóan a jelen relativitáselmélet tudományos alapjain értelmezett tér-idő görbületet és a vele kapcsolatos eredményeket újra kéne gondolni. Tehát a természeti folyamatot helyesen leíró és azt természetszerűen visszaadó emberiség által bevezetett t idő csak lineáris lehet, nem dilatálhat, azaz a fotonok által szállított és matematikailag az idődilatacióval helyesen leírt folyamat nem értelmezhető a természettel azonosnak. A mérnöki tudomány is ezt igazolja vissza. Az energia összefüggésben szereplő \vec{E}_{dek} lehet a dipólusos energiakvantum, vagy makroszinten az elemi térfogat energiavektora, aminek számítására jól használható a Véges Elemes Módszer és a számított véges elem energia vagy irányított energia, már vektormennyiségként számított.

Az erő definíciója: Két irányított tér kapcsolatából származó energiadifferencia munkavégző képessége az F erő. Forgó mozgásnál kerületi erőként ható M nyomaték, vagy dipólnyomaték. Összefüggéssel meghatározva az erő

$$\vec{F} = \frac{\vec{E}_{V1} - \vec{E}_{V2}}{\Delta s} = \frac{\Delta \vec{E}_V}{\Delta s} \quad [\text{N}].$$

A ΔE_V energiának (amit korábbi publikációimban kapcsolati energiának neveztem el $E_k = \Delta E_V$) térkapcsolatban csak a fele tud munkavégzésre fordítódni, a másik fele a munkavégzés során a tér átrendeződését végzi el. A Δs úthossz, az a hossz ami alatt a $\Delta \vec{E}_V$ irányított térfogati differenciaenergia szabad mozgással átrendeződne és megszűnne, azaz nulla értékre változna.

A hasznosuló munkavégző erő

$$\vec{F}_w = \frac{1}{2} \cdot \frac{\vec{E}_{V1} - \vec{E}_{V2}}{\Delta s} = \frac{1}{2} \cdot \frac{\Delta \vec{E}_V}{\Delta s} \quad [\text{N}].$$

Ha nincs térátrendeződés (aura kép vagy kapcsolati energia spektrumváltozás) akkor viszont a hasznosuló munkavégző erő

$$\vec{F}_w = \frac{\Delta \vec{E}_V}{\Delta s} \quad [\text{N}].$$

3. GYAKORLATI PÉLDÁK AZ ENERGIA ÉS ERŐ DEFINÍCIÓJÁNAK TERMÉSZETSZERŰSÉGÉRE

Helyzeti és mozgási energia: Ha egy m tömeget h_1 magasságból felemelünk h_2 magasságra, akkor $h_1 = 0$ magasságban E_1 értéket véve (a szokáshoz igazodva a vektorjelet elhagyjuk) a h_2 magasságban az energia $E_2 = E_1 + m \cdot g \cdot (h_2 - h_1)$, és így $E_{helyzeti} = \Delta E = m \cdot g \cdot (h_2 - h_1) = m \cdot g \cdot h$ [Nm].

Ekkor az m tömeg irányított terének a térrel mint irányított energiaspektrummal való kapcsolatában energia érték változás (aurakép vagy spektrum váltás $\Delta E_k = 0$)

nem következett be, amit matematikai formában a $g = \text{állandó}$ alkalmazása mutat (a természetben ez nem állandó, de relatíve a kis értékű h esetére azzal közelíthető). Így a munkavégző súlyerő $F_w = m \cdot g = \text{állandó}$ [N].

Az m tömegnek a belső működési rendszere, belső aurája nem alakulhat át mindaddig amíg, sebességtől függetlenül m tömegnek nevezzük ($m(v) = \text{állandó}$). Ha most az m tömeget h_2 magasságból $v_2 = 0$ kezdő sebességgel szabadon elengedjük, akkor mozgási energiája a h_1 magasságban $(v_1 - v_2) = v$ alkalmazásával

$$E_{\text{mozgási}} = \frac{1}{2} \cdot m \cdot v_1^2 - \frac{1}{2} \cdot m \cdot v_2^2 = \Delta E_k = \frac{1}{2} \cdot m \cdot v_1^2 = \frac{1}{2} \cdot \Delta E = \frac{1}{2} \cdot E_{\text{helyzeti}} \quad [\text{Nm, VAs}].$$

Az E_k [VAs] kapcsolati energia, az m tömeg és a tér kapcsolatában, a két irányított tér kapcsolatából adódó energia. Például az 1 jelű helyzetben a v_1 sebességű m tömegnek (az $m(v_1)$ tömeg külső aurájának) és a v_1 sebességű energiater spektrumának (auraspektrumnak) E_k a kapcsolati energiája. Továbbá a fenti energia összefüggések alapján az egyes energiák $E_{\text{mozgási}} = \Delta E_k$ és $E_{\text{mozgási}} + \Delta E_k = E_{\text{helyzeti}}$.

Látható az m tömegnek a szabad mozgása során, hogy a helyzeti energiájának (E_{helyzeti}) egyik fele az m tömeg mozgási energiáját ($E_{\text{mozgási}}$), azaz munkavégző képességét hozta létre, a másik fele pedig a kapcsolati tér átrendeződését végezte el (ΔE_k). A kapcsolati tér energiája, mint kapcsolati energia $E_k = E_{k1} = \Delta E_k$ biztosítja a v sebességű m tömeg munkavégző képességét.

Forgási energia és a tehetetlenség: Elemezzük az új térmodell alapján egy forgáscentrumtól r , majd egy $r^* > r$ távolságban lévő m tömegnek ω szögsebességgel kialakult forgási energiáját. Az elrendezést az 1. ábra mutatja. Az ábra alapján r távolság esetére felírva a forgási energia

$$E_{\text{forgási}} = \frac{1}{2} \cdot \Theta \cdot \omega^2 = \frac{1}{2} \cdot (\Theta \cdot \omega) \cdot (\omega) = \frac{1}{2} \cdot m \cdot (v(r))^2 = \frac{1}{2} \cdot (m \cdot v(r)) \cdot (v(r)) \quad [\text{Nm}].$$

A szokásos értelmezésben a Θ tehetetlenség, az ω szögsebesség, az f frekvencia és a T periódusidő $\Theta = m \cdot r^2$ [$\text{kg} \cdot \text{m}^2$], $\omega = \frac{v}{r} = 2 \cdot \pi \cdot f = \frac{2 \cdot \pi}{T}$ [s^{-1}].

Nézzük meg a forgómozgás $E_{\text{forgási}}^*$ energiáját, ha m tömeget r^* távolságba helyezzük és ω változatlan, majd $E_{\text{forgási}}^{**}$ energiáját, ha m tömeg r távolságban marad, de ω értékét növeljük ω^{**} értékre. Ekkor az energiák

$$E_{\text{forgási}}^* = \frac{1}{2} \cdot \Theta^* \cdot \omega^2, \quad E_{\text{forgási}}^{**} = \frac{1}{2} \cdot \Theta \cdot \omega^{**2}.$$

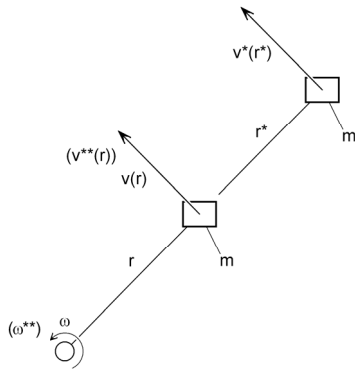
Az energiadifferenciák a kezdeti állapothoz képest

$$\Delta E_{\text{forgási}}^* = E_{\text{forgási}}^* - E_{\text{forgási}} = \frac{1}{2} \cdot \omega^2 \cdot m \cdot (r^{*2} - r^2) = \frac{1}{2} \cdot m \cdot (v^{*2} - v^2),$$

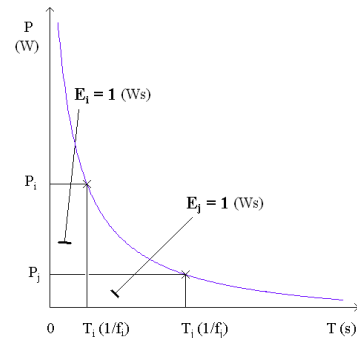
$$\Delta E_{\text{forgási}}^{**} = E_{\text{forgási}}^{**} - E_{\text{forgási}} = \frac{1}{2} \cdot \Theta \cdot (\omega^{**2} - \omega^2) = \frac{1}{2} \cdot m \cdot (v^{**2} - v^2).$$

$$\Delta E_{\text{forgási}}^* = \Delta E_{\text{forgási}}^{**}, \text{ ha } v^{*2} = v^{**2} \text{ azaz } v^* = v^{**}!$$

Az energiadifferenciákra kapott eredményekből megállapítható, hogy egy v sebességgel haladó vagy forgó mozgást végző m tömegnek az energiával való kapcsolatában természetesen azonos nagyságú az E_k kapcsolati energiája. Az előzőekből az is megállapítható, hogy a tér energiaspektruma v sebességgel arányos így a forgómozgásból következően a tér energiaspektrumának f frekvenciájával és annak T periódusidejével is arányos. Ennek az ismeretében végezzük el a tér további vizsgálatát és írjuk fel az E_{dek} energiájú dipólusos energiakvantumokból felépülő, végtelen szabadságfokú energiater Fourier spektrumát. Mivel tapasztaljuk, hogy energetikailag az energiater nulla spinű és sebességű, egyenletes eloszlású, ezért minden spektrumát azonos valószínűséggel azonosan $E_i = 1$ energiaértékkel vesszünk, ahol $i = 0 \rightarrow \infty$. Így az egyes spektrumok P_i munkát végző teljesítménye a T_i periódusidő és f_i frekvencia függvényében a 2. ábrán látható. Összefoglalva a dipólusos tulajdonságú, energetikailag végtelen szabadságfokú, nulla spinű és sebességű, a teret azonos valószínűséggel és energiasűrűséggel kitöltő, az irányított terének energiaspektrumát is figyelembe vevő nem pondusi energiarendszert, egységnyi térfogatban matematikailag leírhatjuk nullától végtelenig terjedő diszkrét frekvenciájú és egységnyi energiataratú energiaadagokkal. Így: $P_i [W] = E_i \cdot f_i [Ws/s] = E_i / T_i [Ws/s] = 1 / T_i [Ws/s] \Rightarrow P(T) = 1/T$. Az egységnyi térfogat energiája: $\int_0^{\infty} P(T) \cdot dT = \int_0^{\infty} \frac{1}{T} \cdot dT = \left[\ln \frac{\infty}{0} \right] = \ln \infty = \infty [Ws]$. Ami, az eredeti definíció eredményét adja! Ahol: az $f [Hz]$ frekvencia, a $T [s]$ periódusidő, a $P [W]$ teljesítmény.



1. ábra. A forgó tömeg elrendezési ábrája



2. ábra. A nem pondusi energiarendszer egységnyi energiataratú teljesítmény- idő és frekvencia-spektruma

A 2. ábra diagramjából látható, hogy a tér nullafrekvenciájú spektrumának teljesítménye nulla, a végtelenfrekvenciás spektrumnak pedig végtelen a teljesítménye. Például egy energiaátviteli transzformátornál a tér 50 Hz-es spektruma dolgozik az energiaszállításban. Ha ugyanolyan teljesítmény átvitelét szeretnénk, de egy magasabb kHz frekvencián, akkor a készülék térfogata kisebb lesz, mivel a tér választott spektruma nagyobb teljesítménnyel dolgozik az

energiaszállításban. A kapcsoló üzemű tápegységek az energiaspektrum elméletének helyességét igazolják vissza.

A mágnes energiájának értelmezése az irányított terekkel:

A Maxwell egyenletek alapján a \vec{B} [Vs/m^2] mágneses indukció vektorral leírt irányított térre adódik $div \vec{B} = 0$, $\oint_A \vec{B} \cdot d\vec{A} = 0$. Amiből a tudomány definíciószerűen

arra a következtetésre jut, hogy a mágneses tér örvényes és forrásmentes, azaz energiaforrásként nem szerepelhet. Ugyanakkor a $V[m^3]$ térfogatú mágneses tér energiáját meghatározza $E_w = \frac{1}{2} \cdot \iiint_V \vec{B} \cdot \vec{H} \cdot dV$ [VAs], és $\vec{B} = \mu \cdot \vec{H}$. Abban a

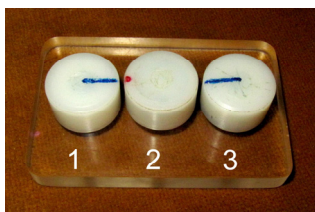
pillanatban, ha \vec{B} [Vs/m^2] indukció mellé szorzó tényezőül odatesszük azt a \vec{H} [A/m] gerjesztést, ami létrehozta, energiát kapunk. Az irányított tér energiája skalármennyiségként került kiszámításra, de energiaként számított, ellentétben a Maxwell egyenletek alapján megfogalmazott definícióval. A tudománynak ezt az ellentmondását is helyére kéne tenni. Irányított energiaként való matematikai leírásban például a V térfogatú mágneses tér egy természetszerű összefüggéssel $\vec{E}_w = \frac{1}{2} \cdot \iiint_V (\vec{B} \cdot \vec{H}) \cdot d\vec{H} \cdot dV$ [VAs], és $\vec{B} = \mu \cdot (\vec{H} \cdot l)$. Ahol $d\vec{H}$, a \vec{H} [A/m]

térerősség vektor egységvektora és $l = \pm 1$ a gerjesztés módjától függően. Ha a gerjesztett tér az anyag belsejében forrásenergiaként szerepel, akkor $l = -1$ egyébként $l = +1$. Ebben az összefüggésben a mágnesesen gerjesztett irányított térnek nagysága és iránya is megjelenik, amelyek természetszerűek. Ezt az eljárást alkalmazza a Véges Elemes Módszer (VEM) a mágnesesen gerjesztett terekre. A mágnes belsejében az irányított tér gerjesztésére $\vec{B} = \mu \cdot (-\vec{H})$, a külső térre $\vec{B} = \mu \cdot (\vec{H})$ összefüggés kerül alkalmazásra. Így a mágnes térfogat forrásenergiaként szerepel helyesen és természetszerűen. Ezért jók a számítási eredmények. Érdekes és fontos felfigyelni arra, hogy nem a mágnes szerepel energiaforrásként összhangban a tudománnyal, hanem annak belső irányított energiatere, ami a felmágnesezéskor alakul ki és a mágnesező gerjesztés megszűntével is fennmarad köszönhetően az anyag speciális ötvözésének, azaz az anyag periodikus pályán működő elemeinek egy újabb stabil periodikus pályán való működésének. A tudomány ennek a természeti folyamatnak a leírását a jelen alapokkal ellentmondás nélkül (lásd $\vec{B} = \mu \cdot \vec{H}$ értelmezését) nem tudja megtenni [5]. Az új térelmélet (EEE, UTE) új térmodellje alapján már ez természetszerűen tehető meg! Tehát a mágnes energiaforrása az irányított tér, az a tér, ami a jelen tudomány számára nem értelmezhető, tehát nem is létezik.

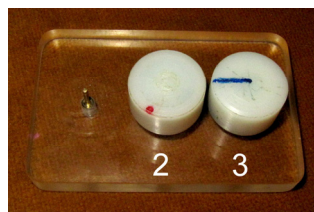
Három darab dipól mágnes irányított térkapcsolatának elemzése:

A három darab hengerformára elkészített dipól mágnes elrendezését a 3. ábra mutatja. Az 1 és 3 jelű dipól mágnesek mágnesezési iránya azonos és a henger palástjának érintője irányába mutat. A 2 jelű dipól mágnes sugárirányba lett felmágnesezve. A 3. ábrán látható megépített rendszerrel a mágnesek irányított tereinek térkapcsolatát tanulmányozhatjuk. Az 1 és 3 jelű dipól mágnes kékszínű

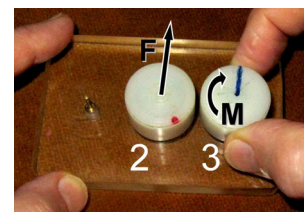
vonal jelzése a félpalást felületnek az \acute{E} északi pólusát jelzi, a 2 jelű dipól mágnesen a pont a külső palástfelület D déli pólusú voltát mutatja. A részletesebb elemzést a 2 és 3 jelű dipól mágnesek irányított tereik kapcsolatában végezzük el. Ekkor az 1 jelű dipól mágneset eltávolítjuk. Ha a 3 jelű dipól mágneset nyugalmi állapotából (lásd 4. ábra) 90 fokkal elfordítunk (lásd 5. ábra) az elfordítás során nyomaték ébred és az ébredő erőpár vissza kívánja fordítani a 3 jelű dipól mágneset nyugalmi állapotába. A 5. ábrán látható módon 90 fokkal történő elforgatással ébred a maximális nyomaték. Ebben a helyzetben megtartva a 3 jelű dipól mágneset a 2 jelű könnyedén körbeforgatható, ami a tankönyvi ismeretek alapján nagyon meglepő! Az irányított térkapcsolat mást mutat, mint amit mechanikai érintkezés esetén elvárunk, hogy nyomatékra nyomaték a válasz. Itt a nyomatékra (lásd 5. ábrán az elfordító kezet, ahol, az M nyomatékra az F erő választ kapjuk) egy erő ébred a 2 jelű dipól mágnesre, ami az aktuális gerjesztési irányok szerint a 2 jelű dipól mágneset a 3 jelű dipól mágnes mögé kívánja vinni. A mechanika tudománya a mechanikus kapcsolatokra megfogalmazott alaptörvénye értelmében, amit itt tapasztalunk, hogy nyomatékra erő ébred nem tudja értelmezni. Az irányított térkapcsolaton záródó mechanikai lánc ennél az elrendezésnél újszerűen viselkedik. Az energia megmaradás törvénye természetesen most is érvényesül (6. ábra alapján $F_{2,m} \cdot d = M_{3,előfeszítő}$). Egy VEM által futtatott modellt az $\alpha = 90^\circ$ szögelfordulásra a 6. ábra mutat a ható erőkkel és nyomatékokkal. A VEM számítási eredményeit az 1. táblázat tartalmazza az $\alpha = 0^\circ, 90^\circ, 180^\circ$ szögelfordulásokra. Érdekes felfigyelni arra, hogy például a 2 jelű dipól mágnesre ható $F_{2,m}$ erőt, amit a 2 jelű tengely $F_{2,t}$ erővel vesz fel a VEM nem tudja megmondani, hogy az $M_{3,előfeszítő}$ nyomatéktól származik. Ez a 3 jelű dipól mágnes tengelyére vett számítási eredményekből derülhet csak ki. Megszokott módon az x, x' tengely feletti $D - \acute{E}$ palástfelületeket az F_2^* és F_3^* erők húzzák, a tengely alattit az F_2^{**} és F_3^{**} erők taszítják. Az F_2^* és F_2^{**} erőpárok nyomatékot nem adnak a 2 jelű dipól mágnesre. Továbbá a D déli irányítású palástfelület tökéletesen kiintegrálja F_3^* és F_3^{**} erőpárok hatását, így az x irányú erők nem lépnek fel az irányított térkapcsolatban, de viszont az erőpárok létrehozzák az $M_{3,m}$ nyomatékot, valamint megjelenik $F_{2,m}$ ellenhatásaként $F_{3,m}$ erő, amit a 3 jelű dipól mágnes tengelye $F_{3,t}$ erővel ellensúlyoz. Felteendő a kérdés milyen szerkezetű lehet az a tér, amely a tapasztalás szerinti transzformációt ilyen tökéletesen elvégzi. Az új térmodellel a tapasztalás egyértelműen magyarázatot kap!



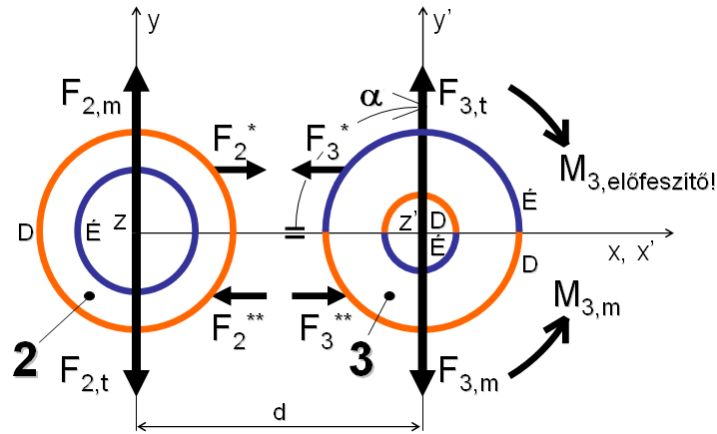
3. ábra. A három darab dipól mágnes elrendezése



4. ábra. A két darab dipól mágnes nyugalmi állapotban



5. ábra. A két darab dipól mágnes előfeszített állapotban



6. ábra. A VEM által futtatott modell az F erőkkel és M nyomatékokkal

| α | [N] | | | [Nmm] | | | [N] | | | [Nmm] | | |
|----------|-------|-------|-------|-------|-------|-------|----------|----------|----------|----------|----------|----------|
| | F_x | F_y | F_z | M_x | M_y | M_z | $F_{x'}$ | $F_{y'}$ | $F_{z'}$ | $M_{x'}$ | $M_{y'}$ | $M_{z'}$ |
| 0^0 | 11 | 0 | 0 | 0 | 0 | 0 | -11 | 0 | 0 | 0 | 0 | 0 |
| 90^0 | 0 | 2,5 | 0 | 0 | 0 | 0 | 0 | -2,5 | 0 | 0 | 0 | 53,4 |
| 180^0 | -9,6 | 0 | 0 | 0 | 0 | 0 | 9,6 | 0 | 0 | 0 | 0 | 0 |

1. táblázat. A 2 és 3 jelű dipól mágnesekre ható F_m erők és M_m nyomatékok a saját koordináta rendszerükben (VEM számítási eredmények)

4. ÖSSZEGRZÉS

Az energia és az erő természethű definíciója az új tételmelet (EEE, UNITHE) új tételmeletje alapján az irányított terek bevezetésével valósulhat meg. Az irányított terek felismerése egy új technológiát vetít előre. Az irányított terek kölcsönhatásában folyamatos tolóerő és így új energiaforrás állítható elő, aminek megvalósításában az ipari mágnesek nagy szerepet kapnak. Valójában az irányított terek technológiáját az emberiség mára magas szinten alkalmazza, de még nem tudatosodott ez a tudományban. Különböző ötvözetek előállításánál is a megfelelő belső irányított teret, belső aurát kutatják. A félvezető technika alapja szintén ez, a nanotechnológia pedig miniatürizálja ezeket. A mikroprocesszorok belső irányított térrendszere talán a technika legmagasabb szintű eredménye ma. Az élő rendszerek működése is az irányított terek vezérelt kapcsolatán alapszik. Az irányított terek kapcsolatának működési mechanizmusa végzi minden rendszernek energia-minimumra, energiaegyensúlyra való szabályozását és ezzel biztosítja az energia megmaradást. Továbbgondolva, az irányított terek technológiája mára fantasztikus szintet ért el. Eredményével, mint lehetőség bárholonnan, akár otthonról is, behatolhatunk különösen védett rendszerekbe is, és a jelen civilizációt

megsemmisítő folyamatot indíthat el bárki. Hogy ilyen ne történjen (sajnos az eltűnt civilizációk kutatása arra mutat rá, hogy ilyen többször is előfordult már a Föld életében) igen fontos lenne az emberiség lényét ehhez a rendkívüli szinthez emelni. A tudományban ez akkor indulhat be, ha felismerik az alapok váltását, megtörténik a paradigmaváltás és az irányított terek technológiájához igazodva az energiakapcsolatoknak számítása már vektor formában jelenti az alapokat. A 34 év tudományos kutató munkám alapján mondhatom, hogy a jövő technikája az irányított térkapcsolatok tudatos és tudományos elméleti és gyakorlati alkalmazása. Ekkor nyílik majd lehetőség az új energiaforrások, hajtóművek, műholdak tudományos kifejlesztésére.

5. KÖSZÖNETNYILVÁNÍTÁS

Köszönet mind azoknak, akik a 34 éves kutató munkám során támogattak. Köszönet elődeinknek, akik a jelen tudományt kutatásaikkal megalapozták, a részecske fizikusoknak, akik munkájukkal és eredményeik publikálásaival lehetőséget adnak elméletem helyességének bizonyítására. Köszönöm munkatársaim segítő támogatásait, név szerint is: Dr. Apró Ferenc, Korpás Kálmán, Dr. Kovács Ernő, Dr. Rónaföldi Arnold, Szalontai Levente, Pintér Csaba, Fenyősy János, Prof. Dr. Jármái Károly, Dr. Németh János, Dr. Dudás László, Prof. Dr. Illés Béla, Dr. Tomori Zoltán, Jámbor Imre.

6. IRODALOMJEGYZÉK

- [1] Fekete, G.: **The new unified theory of energy (unithe) supporting CERN measurements and its utilization in energy transformations**, ACTA TECHNICA CORVINIENSIS – BULLETIN OF ENGINEERING 7 : (3) pp. 165-175. (2014). <http://www.uni-miskolc.hu/~elkfegab/ACTA-2014-3-25.pdf>
- [2] Fekete, G.: **Interpretation of Maxwell's work based on Unified Theory of Energy (UNITHE)**, XXVIII. International Multidisciplinary Scientific Conference, University of Miskolc, (microCAD `2014), Vol. Electrical Engineering, CD-ROM. <http://www.uni-miskolc.hu/~elkfegab/uCAD%202014%20Fekete.pdf>
- [3] Fekete, G.: **The New Unified Theory of Energy (UNITHE) and Practically Useful Results**. 12th International Conference on Energetics – Electrical Engineering, ENELKO 2011, Cluj, 6-9 October 2011, Proceedings, pp: 28-37. http://www.uni-miskolc.hu/~elkfegab/ENELKO_2011.pdf
- [4] Dr. Zombory László, **Elektromágneses Terek**, Hungarian edition Műszaki Könyvkiadó Kft., 2006. http://www.electro.uni-miskolc.hu/elektromagneses_uj.pdf, a feltöltés ellenőrizve 2015. 01. 23.
- [5] **Feynmannak a mágnes tekintetében tett BBC interjúja**, <https://www.youtube.com/watch?v=wMFPe-DwULM>, a feltöltés ellenőrizve 2015. 01. 23.